

POLUVODIČKI DETEKTORI IONIZANTNOG ZRAČENJA

P. GUGIĆ

Institut za medicinska istraživanja i medicinu rada JAZU, Zagreb

(Primljeno 30. I 1969)

Uz uvodno iznešeni kratki ali strmi razvojni put dan je osnovni princip rada i pregled najvažnijih osobina diodnih i tranzistorских poluvodičkih detektora s osvrtom na njihovo vrlo dobro energetsko razlučivanje i potencijalnu pozicijsku osjetljivost. K tome je učinjena usporedba s plinskim i scintilacijskim detektorima; spomenuti su neki namjenski tehnički kompromisi pri izradi i na kraju su dane najznačajnije mogućnosti njihove primjene.

Uz plinske i scintilacijske brojače poluvodički detektori zauzimaju posljednjih godina sve značajnije mjesto u porodici ionizacijskih mjerih uređaja. Naročita maha zauzimaju u onim područjima, gdje su energetsko razlučivanje i ograničenost prostora od presudnog značenja. Iako su istraživanja još uvijek u toku, već i sada se pouzdano može reći da su postignuti rezultati dali značajan doprinos razvoju ionizacijskih mjerena s posebnim naglaskom na unapređenju energetske analize.

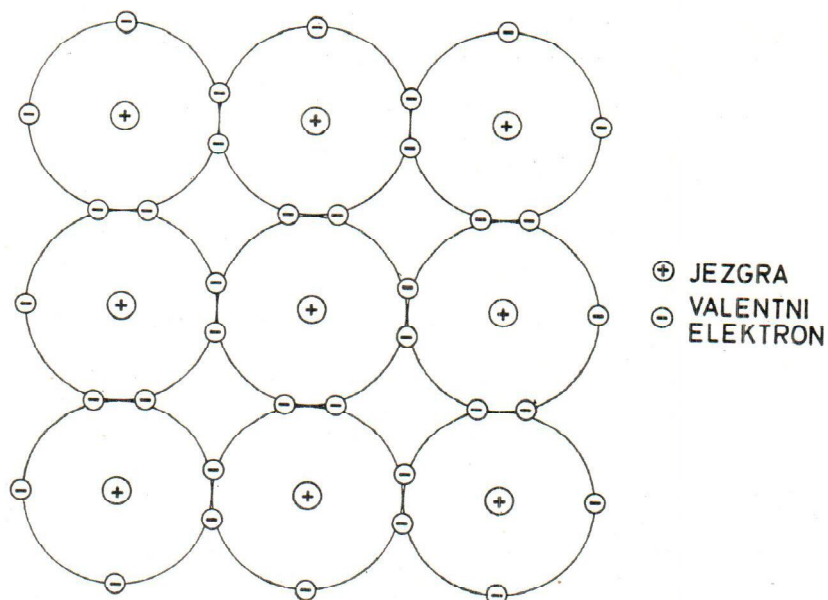
Ideja da se ionizacija proizvedena ionizantnim zračenjem u čvrstom materijalu direktno mjeri nije nova, ali je za realizaciju te ideje bilo potrebno naći materijal koji posjeduje odgovarajuće karakteristike. Među ostalim da ima malu energiju ionizacije, da mu je vrijeme sakupljanja naboja znatno kraće od vremena rekombinacije i da ima dovoljno visoki ohmski otpor radi uspostavljanja električnog polja potrebnog za sakupljanje naboja.

Van Heerden je već 1945. eksperimentirao s dijamantom i alkalno-haloidnim kristalima (1), ali bez značajnijih praktičnih rezultata. Tek upotreboom poluvodičke diode s tačkastim kontaktom odškrinuo je *McKay* (2) 1949. vrata velikih mogućnosti poluvodičkih detektora. 1956. *Mayer* i *Gossik* čine velik korak dalje uvođenjem slojnih germanijevih detektora (3), a 1959. u SAD se već eksperimentira i sa silicijevim slojnim detektorima. Posebno značajan napredak u razvoju poluvodičkih detektora učinio je *Pell* 1960. godine (4) otkrićem metode za kompenzaciju silicija pomakom litijevih iona u električnom polju. Taj je postupak

- omogućio znatno povećanje osjetljivog sloja detektora, a time proširio područje primjene na više energije alfa i beta-čestica i na gama zračenje.

Struktura poluvodiča

Poluvodići poput mnogih drugih čvrstih supstancija imaju kristaličnu strukturu s kovalentnim međuatomskim vezama. To su međusobne veze atoma preko elektrona vanjske ljeske ili tzv. valentnih elektrona. U slučaju atoma IV grupe, u koju spadaju germanij i silicij, u vanjskoj ljesci nalaze se četiri valentna elektrona, kojih se kovalentna veza može prikazati shemom na sl. 1. U toj kovalentnoj vezi svaki atom dijeli svoja



Sl. 1. Struktura kovalentne veze germanija i silicija u kojoj svaki atom dijeli svoja četiri valentna elektrona s četiri susjedna atoma

četiri valentna elektrona s četiri susjedna atoma, pa stoga u takvoj strukturi nema slobodnih nosilaca električnog naboja. Takvo stanje je međutim samo jedan specijalni slučaj održiv na temperaturi absolutne nule. I zaista na toj temperaturi poluvodički materijali pokazuju osobine idealnih izolatora. Povećanjem temperature neki od valentnih elektrona bivaju do te mjeru termički uzbudjeni da uspiju raskinuti vezu s atomom i tako postati slobodni nosioci naboja. Gledajući pojedinačno oni se poslije nekog vremena ponovno vraćaju na ispraznjena mjesta u kovalentnim vezama, ali se drugi raskidanjem veze oslobađaju, pa će stoga broj slobodnih nosilaca na konstantnoj temperaturi biti, u okviru statističkih

varijacija, konstantan. Na sobnoj temperaturi tih je nosilaca toliko da je vrijednost električne vodljivosti negdje između vodiča i izolatora, odakle im i ime poluvodiči. Budući da se porastom temperature povećava broj slobodnih nosilaca odnosno smanjuje električna otpornost, temperaturni koeficijent poluvodiča je negativan za razliku od metala kod kojih je pozitivan.

Kad se termički uzbuden elektron otrgne od atoma, ostavlja iza sebe mjesto s pomanjkanjem jednog negativnog električnog naboja; tom je mjestu dano ime *šupljina*. Pod utjecajem električnog polja svi će elektroni, uključivši i one vezane, težiti prema pozitivnom električnom polu. U idealnoj kristalnoj rešetki takvo stanje neće izazvati nikakav poremećaj, ali u slučaju defekta, npr. manjka jednog elektrona, susjedni će se elektron pod utjecajem polja pomaknuti na mjesto šupljine. Novo pomaknuti elektron je popunio prijašnju šupljinu, ali je iza sebe ostavio novu šupljinu; ili promatrajući šupljinu može se reći da se ona pomiče u smjeru suprotnom od kretanja elektrona. Zbog takvog njenog ponašanja šupljina se u poluvodičima uzima kao nosilac pozitivnog električnog naboja. Kada postoji isti broj pozitivnih i negativnih nosilaca naboja, kao što je pokazano u slučaju termičke uzbude inače savršenih kristala, onda se takvi materijali nazivaju *čisti* ili *intrinsični* poluvodiči.

Unesli se u čisti kristal germanija ili silicija vrlo mala primjesa pete grupe, dobiva se jedan suvišni elektron u kristalnoj rešetki, koji doprinosi vodljivosti materijala. Postupak se naziva dopiranje, a dobiveni materijal je n-tip poluvodiča. Atomi peterovalentne primjese koji unose vodljivi elektron nazivaju se donori.

Ako se dopiranje vrši s atomima treće grupe nastat će šupljine u kristalnoj rešetki, odnosno doći će do pomanjkanja jednog elektrona. Takav se materijal naziva p-tip poluvodiča, a dodatne trovalentne primjese akceptorji. Ako u materijalu dominiraju nosioci jednog predznaka, kao što je to u slučaju dopiranja, onda se takvi materijali nazivaju *dopirani* ili *ekstrinsični* poluvodiči; nosioci naboja koji su u većini nazivaju se majoritetni nosioci (elektroni u n-tipu i šupljine u p-tipu), a oni koji su u manjini nazivaju se minoritetni nosioci (šupljine u n-tipu i elektroni u p-tipu).

Urstve poluvodičkih detektora

Narine li se na intrinsični poluvodič na temperaturi absolutne nule stanoviti električni napon, u električnom krugu neće teći nikakva električna struja, jer poluvodič u takvu stanju ne posjeduje slobodne nosioca naboja. Pusti li se da u poluvodič pod tim okolnostima prodre stanovita ionizantna čestica ili zraka, u materijalu će doći do ionizacije odnosno do stvaranja stanovitog broja slobodnih nosilaca naboja. Pod utjecajem polja oni će biti odvedeni na odgovarajuće elektrode i u vanjskom krugu će doći do kratkotrajnog protoka električne struje, koja će biti proporcionalna energiji koju je ionizantna čestica ostavila u poluvodiču. Takav uređaj djeluje poput plinske ionizacijske komore; i kad rad na temperaturi absolutne nule ne bi predstavljao poteškoću, moglo

bi ga se upotrijebiti kao vrlo dobri detektor ionizantnog zračenja. Međutim, rad na tako niskim temperaturama iz više je razloga neprihvativ; a na sobnoj temperaturi, gdje bi bilo najprikladnije raditi, u poluvodiču dolazi do tako velike struje šuma da kao detektor dolazi u obzir samo u izuzetnim slučajevima.

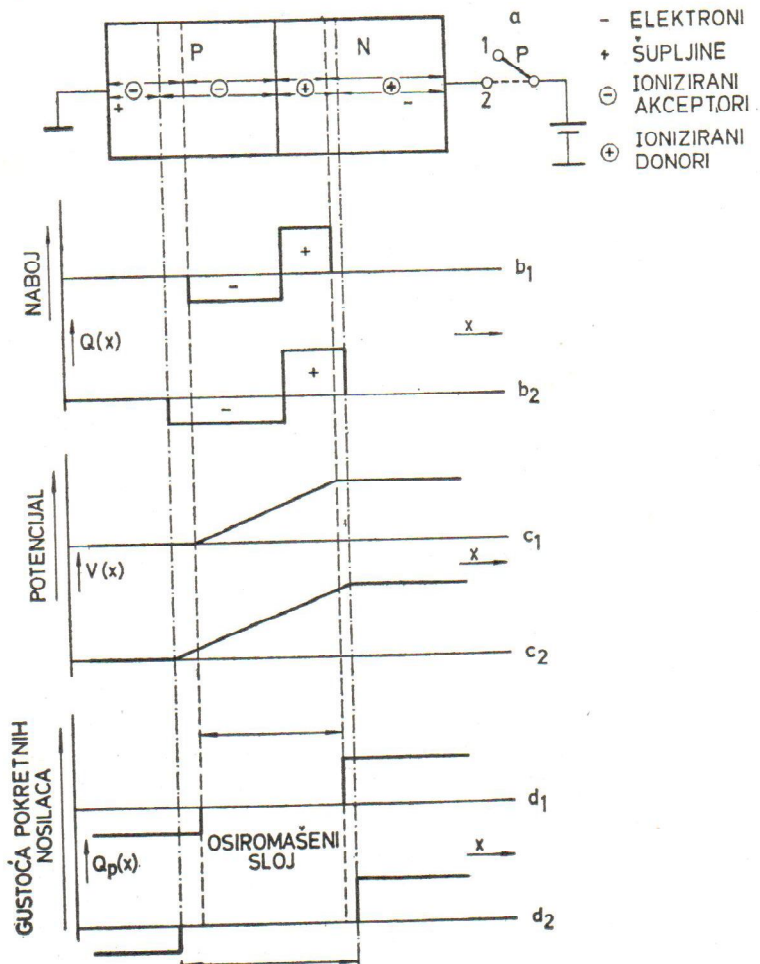
Toj štetnoj struci šuma može se doskočiti korištenjem osobina p-n slojne izvedbe, tj. n-tipa poluvodiča na kojem je formiran sloj p-tipa ili obrnuto. Granična veza slojeva realizirana je homogenom kristalnom strukturom. To se može izvesti na dva načina. Jedan je da se spontanom oksidacijom na sobnoj temperaturi na n-tipu poluvodiča formira vrlo tanki sloj p-tipa, a drugi da se pusti da na temperaturi od oko 800°C u osnovni p ili n-tip materijala difundiraju primjese suprotnog tipa. U prvom slučaju dobivaju se *detektori s površinskom barijerom*, a u drugom *difuzioni slojni detektori*. Zbog različite gustoće elektrona s jedne strane i šupljina s druge strane granične plohe, dolazi do obostrane difuzije slobodnih nosilaca naboja; elektrona iz n-tipa u p-tip, a šupljina iz p-tipa u n-tip poluvodiča. Prešavši graničnu plohu i jedni i drugi se ubrzo rekombiniraju s viškom nosilaca naboja suprotnog predznaka, pa se tako s jedne i s druge strane plohe stvori sloj bez slobodnih nosilaca ili tzv. *osiromašeni sloj*. Daljnje difundiranje nosilaca naboja onemogućuje potencijalna barijera formirana na n-strani od ioniziranih donora, a na p-strani od ioniziranih akceptora.

Na sl. 2. dana je shema i raspored električnih veličina jedne poluvodičke diode. S preklopkom P u položaju 1 dioda je bez vanjskog napona. Kad se preklopka P prebaci u položaj 2, n-tip diode vezuje se na pozitivni pol baterije B i tako se dioda zaporno polarizira. Crtkana linija označava granicu osiromašenog sloja s preklopkom P u položaju 1, tj. kad na diodi nema vanjskog napona, a linija crta-tačka označava granicu osiromašenog sloja onda kad je na diodi narinut vanjski zaporni napon. Diagrami »b« na istoj slici prikazuju gustoću prostornog naboja, »c« potencijalnu barijeru i »d« širinu osiromašenog sloja. Indeksi 1 i 2 označavaju položaj preklopke P, tj. režim bez vanjskog napona i režim s narinutim vanjskim zapornim naponom. Iz dijagrama se vidi da se priključenjem zapornog napona prostorni nabolj i potencijalna barijera povećavaju, a osiromašeni sloj proširuje. U tako aranžiranom električnom krugu ne teče električna struja osim relativno male struje minoritetnih nosilaca, koja međutim za suštinsko poimanje detekcije nije od osobita značenja, pa će stoga u ovom razmatranju biti zanemarena.

Prodre li ionizantna zraka u osiromašeni sloj izazvat će u njemu isto ono što bi se teoretski trebalo dogoditi u intrinsičnom poluvodiču na absolutnoj nuli. Na taj način došlo se do realizacije poluvodičkog detektora ionizantnog zračenja koji funkcioniра i na normalnoj sobnoj temperaturi. Amplituda izlaznog signala bit će proporcionalna energiji oslobođenoj od ionizantne zrake u osiromašenom sloju. Ako je taj sloj dovoljno debelj da apsorbira čitavu energiju onda takav detektor predstavlja linearni pretvarač koji energiju ionizantnog zračenja pretvara u impulse električne struje. Amplitude tih impulsa linearno su proporcio-

nalne energijama zraka koje su ih proizvele. Proizlazi da je osiromašeni sloj najvažniji dio detektora i da je njegova debljina od presudnog značenja. Njegovim povećanjem ne samo što se povećava apsorpcijska moć ionizantnih zraka, već se ujedno i smanjuje štetni kapacitet detektora.

Širina osiromašenog sloja kod p-n detektora direktno je proporcionalna specifičnom otporu i narinutom električnom naponu. S naponom



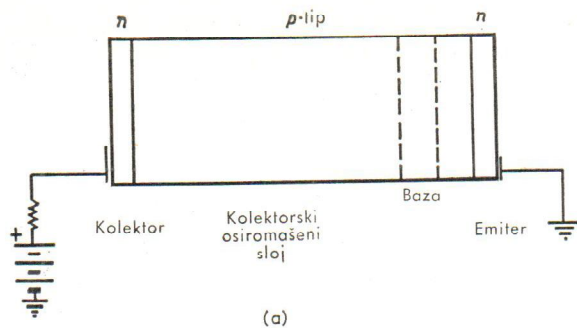
Sl. 2. Shema poluvodičkog diodnog detektora s rasporedom električnih veličina u njemu. Crtačna linija označava granice osiromašenog sloja bez vanjskog napona, a linija crta-tačka označava granice osiromašenog sloja s narinutim vanjskim zapornim naponom. Dijagrami »b« prikazuju gustoću prostornog naboja, »c« potencijalnu barijeru i »d« širinu osiromašenog sloja. Indeksi 1 i 2 označavaju položaj preklopke P, tj. režim bez vanjskog napona i režim s vanjskim zapornim naponom

se može utjecati samo do jedne određene vrijednosti, koja je ograničena jakošću električnog polja; jer polja jača od $2 \cdot 10^4$ V/cm mogu prouzročiti sekundarnu ionizaciju (5). Dapače i naponi manji od probognog izazivaju znatno pogoršanje energetskog razlučivanja, pa se stoga bez štetnih posljedica debljina osjetljivog sloja može s naponom povećati za svega 2–3 puta (6). Žbog toga se raznim načinima pokušava povećati specifični otpor, od kojih je najuspjeliji onaj *Pellow* (4) s pomakom litijevih iona u električnom polju. U tom slučaju se između p i n-tipa poluvodiča određenim postupkom formira intrinsični sloj u kojem su akceptorski ioni kompenzirani litijem i u kojem stoga postoe samo termički stvoreni nosioci naboja. Nazivaju se p-i-n detektori i ističu se relativno vrlo debelim osjetljivim slojem, koji je za čitav red veličine veći od osjetljivog sloja kod p-n detektora. Dobra im je osobina i to da im je kapacitivnost neovisna o narinutom naponu (6).

Makar su signali u opisanim detektorima za oko jedan red veličine veći nego u ionizacijskim komorama, oni su još uvijek maleni za svrhe mjerjenja, pa su stoga neki istraživači pokušali u njima izazvati pojačanje po uzoru na plinske proporcionalne brojače. Prvu primjenjivu izvedbu takvog detektora objavio je *Huth* sa suradnicima (7), a sastoji se od posebno formirane poluvodičke diode kojoj je napon proboga podignut do na oko 1850 V. Do pojačanja dolazi ubrzanjem nosilaca naboja u osiromašenom sloju do te mjere da uspijevaju i sami proizvoditi daljnje ionizacije. Pojava multiplikacije naboja počinje već na oko 1300 V, a na 1840 V faktor pojačanja za npr. beta čestice od 50 keV iznosi oko 50. Pri tome vrijeme porasta impulsa ostaje isto, ali se energetska rezolucija pogoršava u odnosu na rad bez pojačanja.

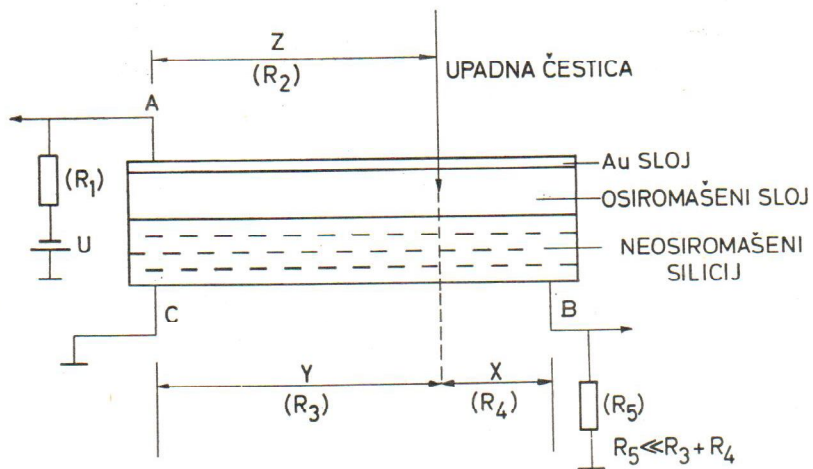
U svrhu dobivanja jačeg signala izvedeni su i tranzistorски detektori (8, str. 156). Na sl. 3. shematski je prikazan jedan takav n-p-n tip. Vanjski napon je priključen samo između kolektora i emitera, pa budući da baza nema naponskog priključka, struja emitera je u potpunosti ovisna o struji kolektora. Osiromašeni sloj kolektora u području baze seže do u samu blizinu emitera čiji je osiromašeni sloj vrlo uzak. Na uskom graničnom području između jednog i drugog osiromašenog sloja dolazi stoga do potencijalne doline i doslijedno tome do slabog električnog polja. Kada ionizantna zraka prodre u osiromašeni sloj stvor tamo izvjesni broj ionskih parova, koje polje usmjerava prema odgovarajućim polovima. Šupljine na svom putu prema emiteru u jednom trenutku dospiju do potencijalne doline i tu bivaju neutralizirane od viška elektrona koje one privuku iz emitera. Jedan dio tih privučenih elektrona uspijeva proletjeti potencijalnu dolinu i dospjevši u osiromašeni sloj kolektora prizvesti u njemu daljnju ionizaciju. Na taj način dolazi do multipliciranja naboja, odnosno do pojačanja. Na žalost i ovdje kao i kod diodnog pojačanja dolazi do pogoršanja energetskog razlučivanja, pa im je stoga primjena ograničena na one rijetke slučajeve kad je veliki izlazni signal od presudnog značenja.

Nastavljujući ideju *Parkinsona* koji je s dvadeset detektora ostvario poziciono osjetljivi detektor (9), uspjelo je danas postići to isto s jednim



Sl. 3. Shematski prikaz tranzistorskog detektora $n-p-n$ tipa. Kolektor je zaporno polariziran, a emiter probusno. Crtkano je označeno efektivno područje baze (8 str. 157)

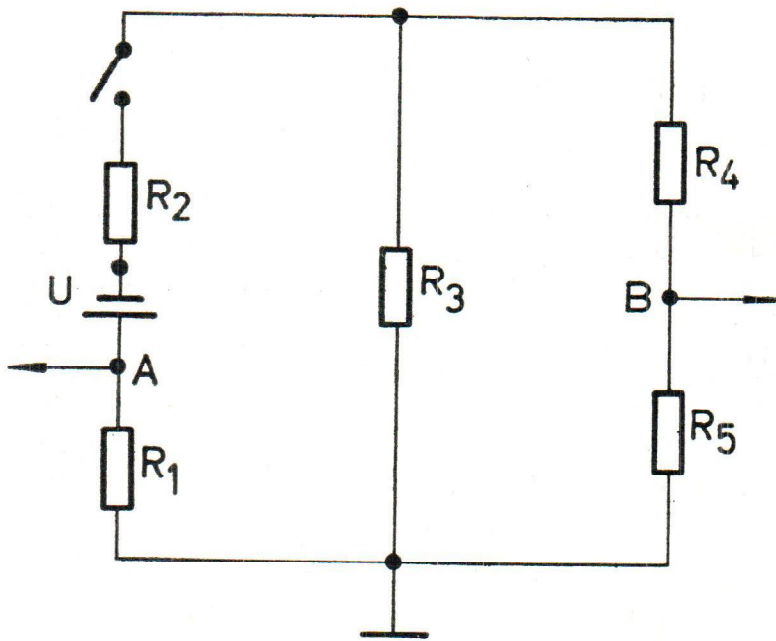
jedinim detektorom (10, 11). U jednoj od izvedaba to je slojni detektor koji s jedne strane ima vodljivi sloj zlata, a s druge otporni sloj silicija (sl. 4) (12). Nadomjesna električna shema dana je na sl. 5. Strujni sig-



Sl. 4. Shematski prikaz amplitudnog tipa poziciono osjetljivog detektora. S jedne strane osiromašenog sloja nalazi se zlatni sloj vrlo dobre vodljivosti, a s druge strane sloj silicija vrlo visokog omskog otpora. Iz veličine strujnih signala u tačkama A i B može se izračunati mjesto na kojem je ionizantna čestica prodrla u detektor (12)

nali se odvode s tačaka A i B (sl. 4). Onaj signal koji se odvodi s vodljivog sloja, tj. s tačke A proporcionalan je energiji upadne čestice bez obzira na kom je mjestu došlo do ionizacije. Drugi signal koji se odvodi s tačke B ovisan je, osim o energiji, još i o mjestu ionizacije jer na putu

do tačke B dolazi do pada napona na otpornom sloju a time i do smanjenja signala. Budući da je to smanjenje proporcionalno udaljenosti X, može se pomoću nadomjesne sheme na sl. 5. pokazati da će signal u tački B biti



Sl. 5. Nadomjesna shema poziciono osjetljivog detektora sa sl. 4.;
 $Y : X = R_3 : R_4; R_2 \ll R_1 \text{ i } R_5 \ll R_3 + R_4$

$$S_B = \frac{Y}{X + Y} S_A$$

gdje su S_A i S_B jakosti strujnih signala u tačkama A i B, a X i Y su dužine označene na sl. 4.

Pozicijski detektori općenito su naišli na veliku primjenu u raznim područjima fizikalnih istraživanja, a naročito u proučavanju kutne raspodjele raspršenog zračenja (12, 13) i u magnetskoj spektrometriji (14).

Osim opisanih ispravljачkih tipova poluvodičkih detektora postoje i homogeni detektori koji nemaju ni izdaleka tako dobro razlučivanje, ali se zahtijevajući posebnom postupku formiranja kristala s njima može postići pojačanje naboja od 10^3 do 10^6 . Zbog tako velikog unutarnjeg pojačanja mogu se direktno priključiti na odgovarajući instrument za mjeđenje struje i tako dobiti jednostavni i robustni dozimetri (8, str. 340).

Najbolji detektori tog tipa jesu kristali kadmijeva sulfida (15) koji uz veliko unutarnje pojačanje imaju i visoki atomski broj ($Z = 48$ i 16), pa se uspješno primjenjuju i u gama-dozimetriji.

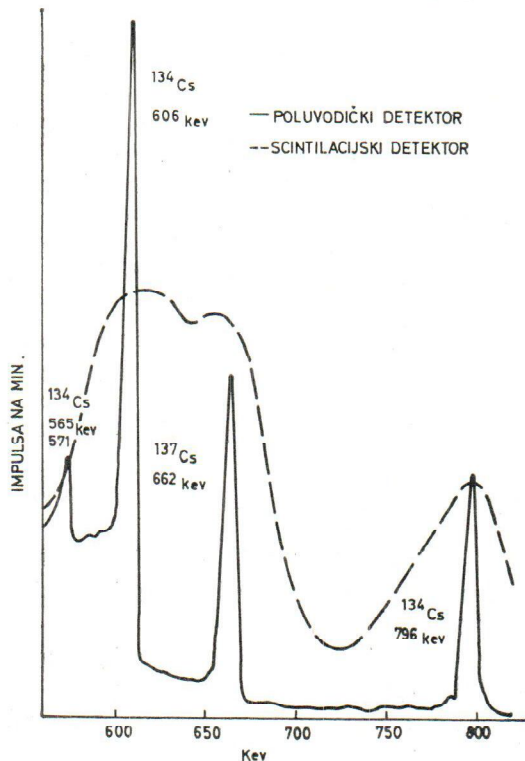
Komparativne osobine i područje primjene

Poluvodički detektori imaju svojih prednosti i manu u odnosu na plinske i scintilacijske detektore. Prednosti su im:

- relativno mala energija ionizacije (oko 3,5 eV) u odnosu na plinske detektore (oko 35 eV) i fotokatode scintilacijskih detektora (iznad 350 eV);
- relativno velika gustoća u odnosu na plinske detektore pa stoga i odgovarajuće veća moć zaustavljanja; odnosno u daljoj liniji mogućnost izrade malenih detektora velike osjetljivosti;
- izrazito dobro energetsko razlučivanje, koje je za diodne detektore oko jedan red veličine bolje od ionizacijskih komora i oko dva reda veličine bolje nego kod scintilacijskih brojača (16) (sl. 6);
- linearna ovisnost amplituda strujnih signala o energiji ionizantnih zraka, unutar svake pojedine vrste ionizantnog zračenja;
- malo vrijeme porasta impulsa (oko 10^{-8} s) u odnosu na plinske detektore (oko 10^{-6} s);
- jednostavnija mogućnost realizacije pozicijske osjetljivosti;
- da se mogu izraditi praktički bez prozora i
- da rade na relativno niskim naponima s malim potroškom energije, a manje su im:
 - relativno velika podložnost utjecaju vlage i temperature;
 - ograničenost u pogledu izrade dovoljno velikog osjetljivog sloja za detekciju gama zraka;
 - ograničeni vijek trajanja zbog oštećenja koja vremenom nastaju u kristalnoj rešetki (17);
 - mali izlazni signal i zbog toga potreba za (skupim) niskošumnim ulaznim pojačalima;
 - u slučaju germanijeva detektora potreba primjene niskih temperatura (oko 150°K) (18) i
 - za sada još nedovoljno tačno poznata energija za stvaranje jednog ionskog para i neizvjesnost u pogledu ovisnosti te energije o različitim vrstama zračenja (19).

Glavna prednost poluvodičkih uređaja da imaju izvrsnu energetsку rezoluciju, može biti uspješno iskorištena jedino kada je cijelokupna energija upadnog ionizantnog zračenja apsorbirana u osjetljivom sloju detektora. Za alfa-čestice nema većih problema jer već debljina od oko $200 \mu\text{m}$ silicija može zaustaviti alfa-čestice do oko 20 MeV (20, 21). Slična

je situacija i s beta-česticama, jer će npr. beta-čestice od oko 0,5 MeV biti zaustavljene od sloja debljine oko 500μ . Za spektrometriju gama-zraka bili su doskora poluvodički detektori primjenjivani isključivo za niže energije (22); sada su, međutim, u laboratorijima već izrađeni detektori germanija i do 85 cm^3 osjetljivog sloja s energetskim razlučivanjem od svega 0,32% (za energiju Co^{60} od 1,332 MeV), a potpuno apsorbiraju i gama-zrake od oko 10 MeV (23). Odvojeno istražujući s koaksijalnim germanijevim detektorima Lalović et al. (24) i Malm (25) poka-



Sl. 6. Gama-spektri Cs^{134} i Cs^{137} . Puna linija prikazuje spektar snimljen s poluvodičkim detektorom, a crkhana linija prikazuje isti spektar snimljen na scintilacijskim detektorma (42)

zali su da se s nekoliko takvih diodnih detektora vezanih paralelno i zajedno smještenih u kriostat dobiva veća izdašnost od zbroja izdašnosti pojedinih detektora. (Pod izdašnošću se ovdje misli na odnos između apsorbirane energije u osjetljivom sloju i amplitude odgovarajućeg strujnog signala). Nažalost, to je poboljšanje popraćeno smanjenjem energetskog razlučivanja, koje za npr. četiri paralelno vezana detektora s pojedinačnim energetskim razlučivanjem, od oko 9 keV skače na oko 24 keV (24).

Praktični problemi su, kako se iz izloženog može i naslutiti, proizvodnju poluvodičkih detektora usmjerili u nekoliko različitih pravaca radi zadovoljenja određenih specifičnih zahtjeva. Za spektrometriju vrlo bliskih energija preferira se energetsko razlučivanje pred svim drugim osobinama (26, 27, 28, 29). Za mjerjenje niskih aktivnosti grade se detektori s velikom izdašnosti a energetsko razlučivanje se mora žrtvovati (7, 24), dok se kod detektora predviđenih za rad u širokom temperaturnom području mora tolerirati i pogoršanje razlučivanja i pogoršanje izdašnosti (30). U takvima toplinski teškim uvjetima rada silicij i pogotovo germanij gube relativno mnogo na svojim osnovnim odlikama, a naročito na razlučivanju, pa se stoga vrše intenzivna istraživanja da se za takve režime rada nađu bolji i prikladniji materijali (31).

Zahvaljujući vrlo jednostavnoj konstrukciji u odnosu na scintilacijske brojače i velikoj moći zaustavljanja u odnosu na plinske brojače, s poluvodičima je moguće ostvariti vrlo malene detektore ionizantnog zračenja s relativno vrlo velikom izdašnošću. Zbog tih osobina su poluvodički detektori posebno zanimljivi u izvjesnim dozimetrijskim mjeranjima (32, 33). Naročito su prikladni tamo gdje je veličina od presudnog značenja, npr. za mjerjenje raspoljele intenziteta doze po površini presjeka ionizantnog snopa ili za mjerjenje raspoljele doze u organizmu. Promjer takvog malog valjkastog detektora danas već ne mora biti veći od 0,1 cm, a duljina svega 0,22 cm (34). Važan doprinos unapredenuju biološkim mjerjenja je i činjenica da silicijski detektori omogućuju najbolju simulaciju koščanog medija, a po tome i najuspješnije mjerjenje ionizantne doze u kostima.

Poluvodički detektori tipični su visoko razvijeni tehnički proizvod sa svim, u takvima slučajevima, pripadnim osobitostima. Imaju izvanredne osobine u određenom uskom području primjene, jednostavni su za rukovanje, a postupak izrade i teoretske osnove su im vrlo složene. Iz tih razloga još ni danas sva zbivanja u poluvodičkim detektorima nisu u potpunosti objašnjena (35, 36, 37, 38), a istraživanja u pogledu njihovih mogućnosti (28, 39) i načina izrade (29, 40, 41) još su uviјek u punom zamahu. Čitaocu koji bi se htio podrobnije upoznati s problematikom poluvodičkih detektora u prvom redu skreće se pažnja na vrlo dobru knjigu G. Dearnaley i D. C. Northropa (8) u kojoj je čitava materija vrlo temeljito i vrlo pregledno iznešena.

Literatura

1. *Van Heerden, P. J.*: The Crystal Counter, N. V. Noordhollandsche Uitgevers Mattschappij, Amsterdam, 1945.
2. *Mc Kay, K. G.*: A Germanium Alpha Counter, Phys. Rev., 76 (1949) 1537.
3. *Mayer, J. W., Gossick, B. R.*: Use of Gold Germanium Broad Area Barriers as Alpha Particle Spectrometers, Rev. Scin. Instr., 27 (1956) 407.
4. *Pell, E. M.*: Ion Drift in an N-P Junction, J. Appl. Phys., 31 (1960) 291.
5. *Goulding, J. F. S.*: Semiconductor Detectors for Nuclear Spectrometry, Nucl. Instr. Meth., 43 (1966) 1.

6. Rendić, D.: Poluvodički brojači nabijenih čestica dobiveni pokretanjem litijevih iona u električnom polju, Tehnika 12 (1963) RI 169.
7. Huth, G. C., Trice, J. B., Mc Kinney, R. A.: Internal Pulse Amplification in Silicon p-n Junction Radiation Detection Junctions, Rev. Sci. Instr., 35 (1964) 9, 1220.
8. Dearnaley, G., Northrop, D. C.: Semiconductor Counters for Nuclear Radiations, E. & F. N. Spon Ltd, II izd., London, 1963.
9. Parkinson, W. C.: Solid-State Detectors for High Resolution Nuclear Spectroscopy, Rev. Sci. Instr., 32 (1961) 1136.
10. Laessgaard, E.: Position-sensitive Semiconductor Particle Detectors Fabricated by Ion Implantation, IEEE Trans. Nucl. Sci. NS-15, 3, (1968) 239.
11. Borkowski, C. J., Kopp, M. K.: New Type of Position-sensitive Detectors of Ionizing Radiation Using Rise Time Measurement, Rev. Sci. Instr., 39 (1968) 1515.
12. Clegg, T. B., Barnard, A. C. L., Swint, J. B.: A Nuclear Reaction Polarimeter Using Position Sensitive Detectors, Nucl. Instr. Meth., 40 (1966) 45.
13. Broude, C., Ollerhead, R. W.: Use of Position Sensitive Surface Barrier Particle Detector for Kinematic Compensation in Heavy Ion Reactions, Nucl. Instr. Meth., 41 (1966) 135.
14. Elliott, R. V., Carter, K. W., Spear, R. H.: The Use of a Position-Sensitive Solid State Detector to Measure Properties of a Magnetic Spectrometer, Nucl. Instr. Meth., 59 (1968) 29.
15. Smith, G. D., Aliaga-Kelly, D.: Recent Developments in Health Physics Monitoring Instrument, Proceedings of the Fifth International Instruments and Measurements Conference, vol. 2, Stockholm, 1960, kd. H. von Koch and G. Ljungberg, Academic Press Publishers, London, 1961.
16. Gugić, P.: Spektralni analizatori s proporcionalnim brojačima, Arh. hig. rada, 14 (1963) 223.
17. Parker, R. P., Morley, B. J.: Silicon p-n Junction Surface Barrier Detectors and Their Application to the Dosimetry of X- and Gamma-ray Beams, Solid State and Chemical Radiation Dosimetry in Medicine and Biology, IAEA Vienna, Vienna, 1967.
18. Dearnaley, G.: Nuclear Radiation Detection by Solid State Devices, J. Sci. Instr., 43 (1966) 869.
19. Parker, R. P.: Semiconductor Electrical Conductivity Detectors, kao pod 17.
20. Paić, G., Rendić, D.: Poluvodički detektori u nuklearnoj fizici, Elektrotehnika, 2 (1963) 3.
21. Chaplin, G. B. B.: Semiconductor in Nuclear Instrumentation, Instruments and Measurements, kao pod 15.
22. Hollander, J. M.: The Impact of Semiconductor Detectors on Gamma-Ray and Electron Spectroscopy, Nucl. Instr. Meth., 43 (1966) 65.
23. Henck, R., Siffert, P., Coche, A.: Characteristics of a 85 cm³ Ge (Li) Gamma Ray Detector, Nucl. Instr. Meth., 60 (1968) 343.
24. Lalović, B., Azuma, R. F., Petrović, B.: Large, Multiple Element Germanium Spectrometers, IEEE Trans. Nucl. Sci. NS-14 1 (1967) 514.
25. Malm, H. L.: Encapsulated Coaxial Ge(Li) Detectors Operated in Parallel, IEEE Trans. Nucl. Sci. N-14 1 (1967), 521.
26. Elad, E., Nakamura, M.: High-resolution Beta- and Gamma-ray Spectrometer, IEEE Trans. Nucl. Sci. NS-14 1 (1967), 523.
27. Orphan, U. J., Rasmussen, N. C.: A Pair Spectrometer Using a Large Coaxial Lithium-Drifted Germanium Detector, IEEE Trans. Nucl. Sci. NS-14 1 (1967), 544.
28. Palms, J. M., Venugopala Rao, P., Wood, R. E.: An Ultrahigh Resolution Ge(Li) Spectrometer for Singles and Coincidence X-ray and Gamma-Ray Studies, Nucl. Instr. Meth., 64 (1968) 310.
29. Tomlinson, F. K., Coffey, D. L., Wylie, K. F.: Large Area Silicon Surface-Barrier Detector for Beta-Ray Spectroscopy, Nucl. Instr. Meth., 65 (1968) 101.
30. Wilburn, C. D., Mallamo, R.: P-N Semiconductor Detectors for Severe Environmental Conditions, IEEE Trans. Nucl. Sci., N-14 1 (1967) 569.

31. Price, M. B., Polishuk, P.: Survey of Materials for Radiation Detection at Elevated Temperatures, IEEE Trans. Nucl. Sci. N-14 1 (1967) 537.
32. Baily, N. A., Hilbert, J. W.: The Response of p-i-n Junctions to Low-Energy Beta-Ray Emitters, Health Physics, 12 (1966) 705.
33. Scharf, K.: Exposure Rate Measurements of X- and Gamma-Rays with Silicon Radiation Detectors, Health Physics, 13 (1967) 575.
34. Raju, M. R.: The Use of the Miniature Silicon Diode as a Radiation Dosimeter, Phys. Med. Biol., 11 (1966) 371.
35. Bussolati, G., Bertolaccini, M., Cova, S.: On the Behavior of High Resistivity Si Surface Barrier Detectors, Nucl. Instr. Meth., 33 (1965) 293.
36. Papadakis, A. C.: Charge Collection in Certain Types of Semiconductor Radiation Detectors, Nucl. Instr. Meth., 40 (1966) 177.
37. Antman, S. O. W., Landis, D. A., Pehl, R. H.: Measurement of the Fano Factor and the Energy per Hole-Electron Pair in Germanium, Nucl. Instr. Meth., 40 (1966) 272.
38. Walford, G., Doust, C. E.: Anomalous Effect in Lithium-Drifted Germanium Semiconductor (Radiation) Detector, Electronics Letters, 4 (1968) 13.
39. Cooper, J. A., Wogman, N. A., Palmer, H. E., Perkins, R. W.: The Application of Solid State Detectors to Environmental and Biological Problems, Health Physics, 15 (1968) 419.
40. Hutch, G. C., McKinney, R. A., Locker, R. J.: Development of a Germanium Avalanche-Type Semiconductor Nuclear Particle Detector and Discussion of Avalanche Detector Arrays, IEEE Trans. Nucl. Sci. NS-15 3 (1968) 246.
41. Arkad'eva, E. N., Maslova, L. U., Matveev, D. A., Ryvkin, S. M., Rud, Yu. V.: On the Cd Te Detectors, IEEE Trans. Nucl. Sci. NS-15 3 (1968) 258.
42. Kandiah, K.: Nuclear Instruments over the Last Fifty Years, J. Sci. Instr., 1 (1968) 369.

Summary

SEMICONDUCTOR DETECTORS OF IONIZING RADIATION

Fast recent development of diode and transistor semiconductor detectors is briefly dealt with. A survey is given of the basic principles of work and of the most important characteristics of these detectors with special regard to their energy discrimination and potential position sensitivity. Comparison is made with gas and scintillation detectors. Some technical compromises in design are mentioned and at the end the most significant possibilities of application presented.

Institute for Medical Research,
Yugoslav Academy of Arts and Sciences, Zagreb

Received for publication
January 30, 1969.